

Počítačové simulácie v procese vývoja automatickej práčky

Maroš Bohunčák
SvF STU
13.4.2013

Obsah

- Typy práčiek
- SBD, Typy simulácií
- Základné princípy výpočtových softvériov
 - FEA
 - Lineárna statika
 - Nelineárna statika
 - Dynamická analýza
 - Optimalizačné metódy
- Altair Hyperworks, Ansys, LS-Dyna, LS PrePost, Msc Adams
- Problém 1 – Simulácia pádovej skúšky AP
- Problém 2 – Optimalizácia tvaru prelisov a simulácia tvárnenia bočnice AP

Typy práčiek

Horizontálna os otáčania bubna:

Z vrchu plnená práčka



S predu plnená práčka



Typy práčiek

Vertikálna os otáčania bubna:



SBD, Typy simulácií

- SBD (Simulation Based Design) – Analytický proces, ktorý využíva počítačové simulácie pri navrhovaní, overovaní a optimalizácii dizajnu produktu/komponentu

Výhody:

- Predikcia správania sa navrhovaného komponentu ešte pred zostavením a testovaním reálneho prototypu
- Možnosť vyhodnotenia a overenia veľkého množstva dizajnov už na začiatku vývojového cyklu komponentu
- Zníženie časových a finančných nákladov na výrobu prototypov

Predikcia pomocou SBD:

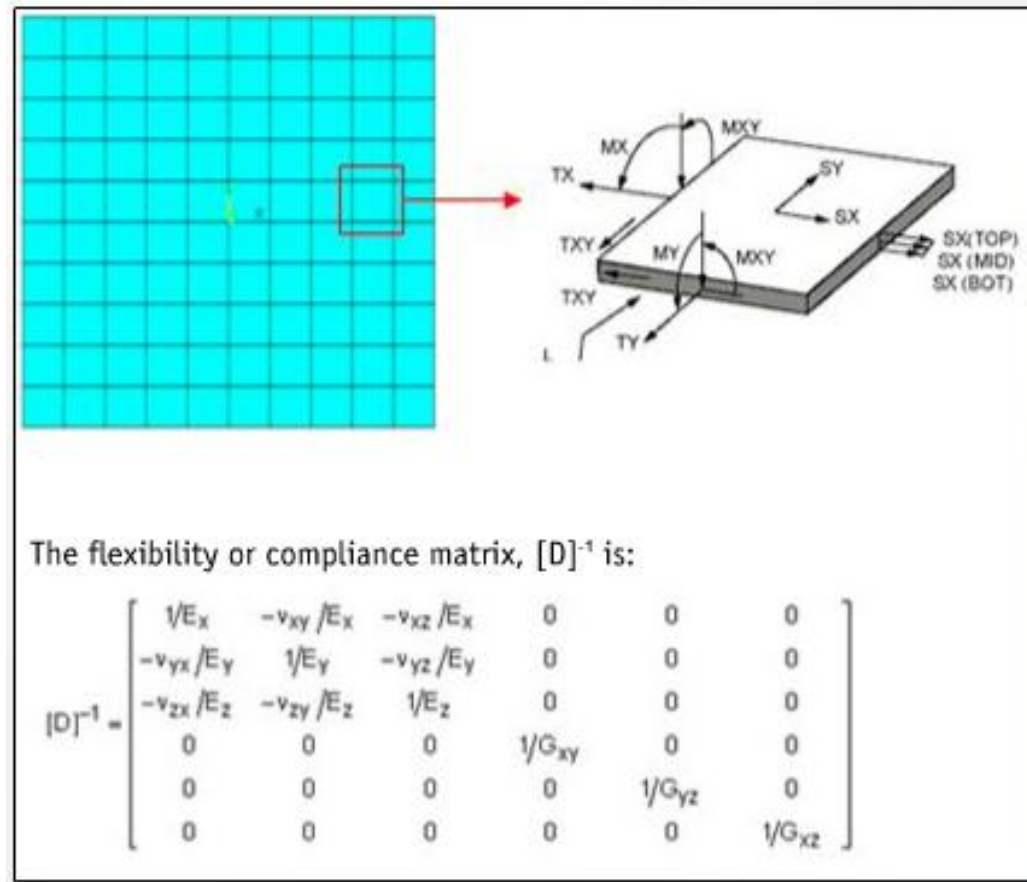
- Deformácie, distribúcia napäťia, únava a lomy, vibrácie a hluk, teplota, tepelný tok, tok tekutín, spalovanie, optimalizácia tvaru...

SBD, Typy simulácií

- Relatívne jednoduché a rýchle „ručné“ výpočty
- Komplexné simulácie poskytujúce detailné odpovede napríklad na otázky ohľadom tuhosti, resp. vplyvu materiálových vlastností na správanie sa komponentu
 - Finite element analysis (štrukturálne, distrib. teploty, vibrácie, vstrekovanie, pádové simulácie)
 - Computational fluid dynamics (tepelný tok, spalovanie, tok tekutín)
 - Multi-body dynamics (simulácie pohybujúcich sa častí)

Základné princípy výpočtových softvérov

- FEA (Finite Element Analysis) – Matematická technika, ktorá používa PDR na simulovanie geometrie, materiálových vlastností a zaťaženia reálneho fyzikálneho systému



Základné princípy výpočtových softvérov

Štrukturálna FEA

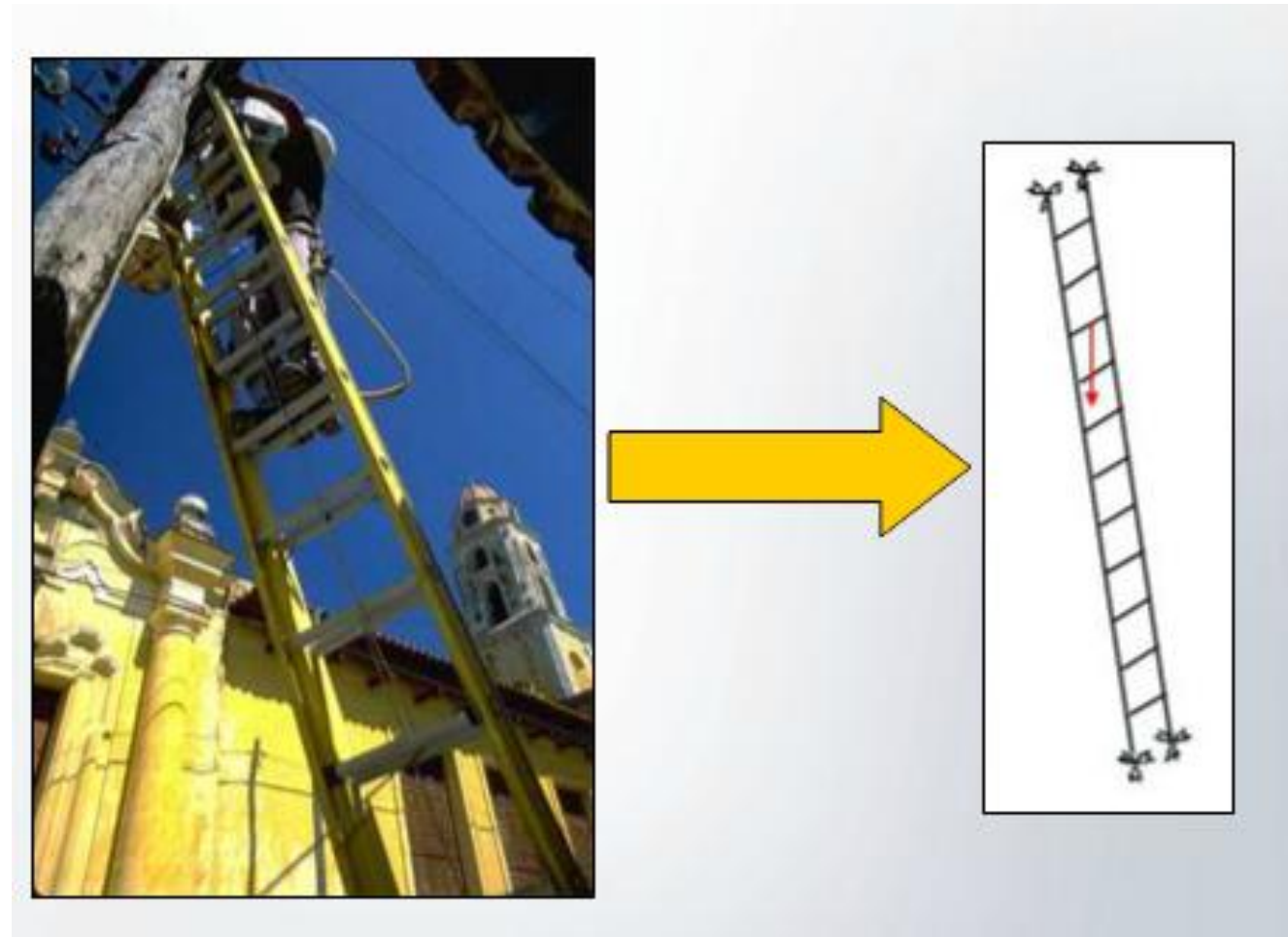
- Pomocou štrukturálnej FEA môžeme analyzovať:
 - Tuhost' a pevnosť
 - Deformácie (ohyb, krútenie, vzper...)
 - Distribúciu napätí a posunutia

Základné princípy výpočtových softvérov

Aproximácia reality

Ako dobre FEA approximuje realitu závisí od:

- Typ simulácie
- Simulačná technika
- Vstupné dátá
- Jemnosť siete
- Intuícia analytika



Základné princípy výpočtových softvérov

Vhodné a nevhodné použitie FEA



- Určenie citlivosti parametrov dizajnu
- Predpovedanie napäť a deformácií alebo distribúcie teploty
- Optimalizácia dizajnu (redukcia hmotnosti a množstva použitého materiálu pri zachovaní resp. zvýšení tuhosti)



- Snaha reprezentovať namerané dátá presne
- Vyrábať pekné obrázky...

Základné princípy výpočtových softvérov

Výhody FEA

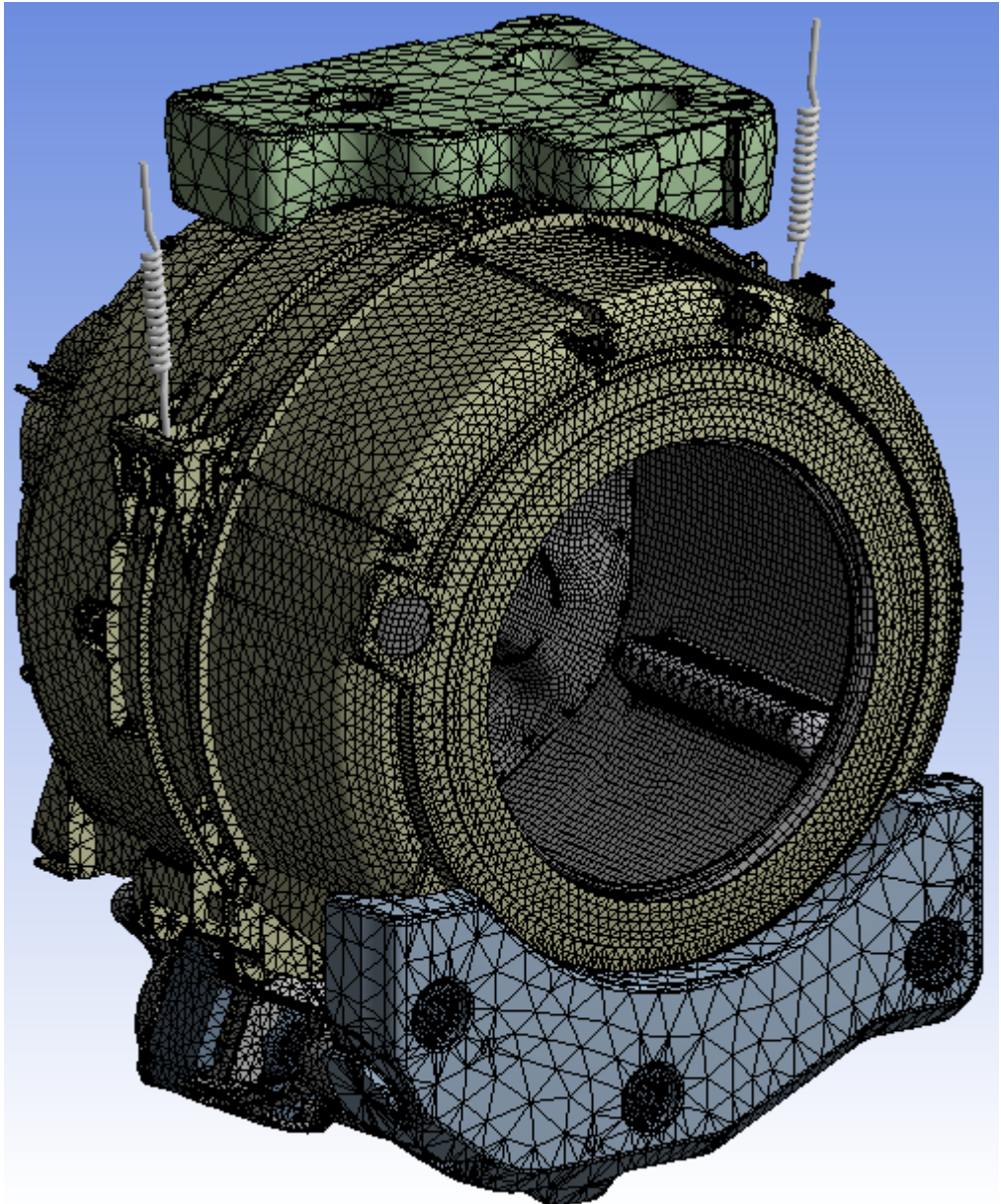
- Zvyšuje produktivitu, znižuje náklady, šetrí čas, skracuje vývojový cyklus, vytvára spoľahlivejšie dizajny
- Redukuje náklady na prototypovanie
- Simuluje ťažko vyrobiteľné prototypy
- Poskytuje detailnejší pohľad na dôležité parametre

Základné princípy výpočtových softvérov

Postup FEA

- Pre-processing
- Solving
- Post-processing

Základné princípy výpočtových softvérov



BLOCK LANCZOS CALCULATION OF UP TO 20 EIGENVECTORS.

NUMBER OF EQUATIONS = 3602820
MAXIMUM WAVEFRONT = 10986
MAXIMUM MODES STORED = 20
MINIMUM EIGENVALUE = 0.00000E+00
MAXIMUM EIGENVALUE = 0.10000E+31

Memory allocated for solver = 7070.203 MB

Memory required for in-core = 30541.493 MB

Optimal memory required for out-of-core = 3257.631 MB

Minimum memory required for out-of-core = 2213.859 MB

No. of nodes: 1239223

No. of elements: 719520

Základné princípy výpočtových softvérov

Typy analýz

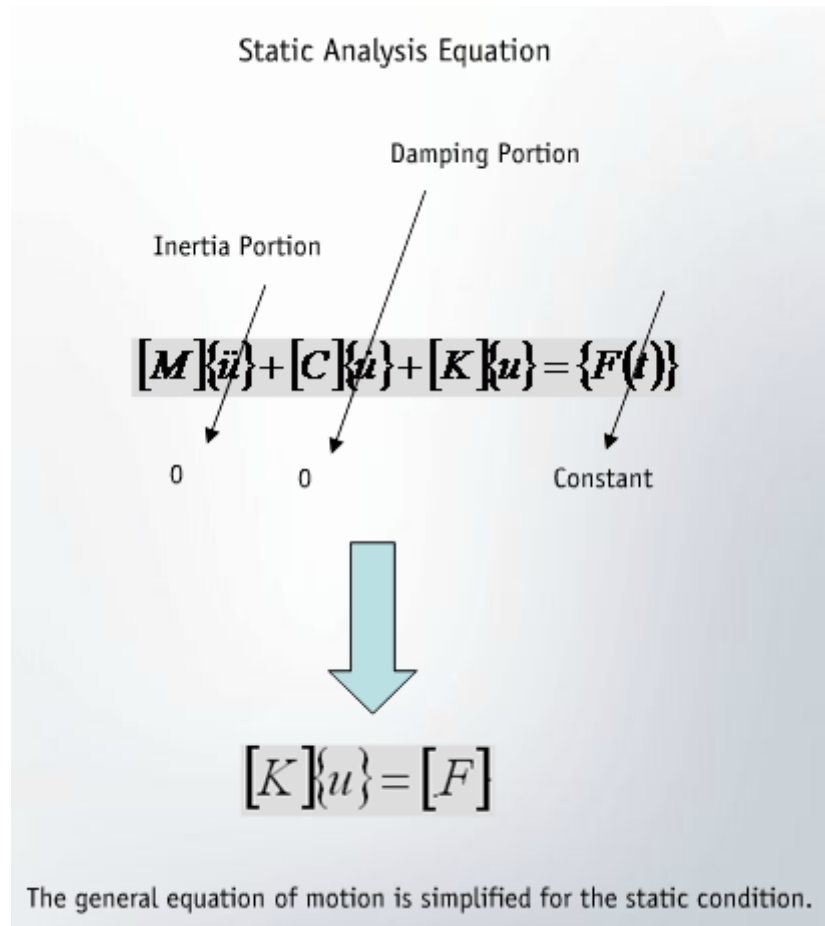
- Statická
 - Lineárna
 - Nelineárna
- Dynamická
 - Lineárna
 - Nelineárna

Základné princípy výpočtových softvérov

Typy analýz (pokračovanie)

Statická analýza

- Zaťaženie sa nemení v čase
- Kvážy statická - ak sa zaťaženie mení veľmi pomaly a zotrvačné vlastnosti sú zanedbateľné
- Ak je to potrebné je možné zahrnúť nelineárne efekty



Základné princípy výpočtových softvérov

Typy analýz (pokračovanie)

Dynamická analýza

- Zohľadňuje hustotu
- Ak je to potrebné je možné zahrnúť nelineárne efekty
- Explicitné výpočty

Dynamic Analysis Equation

$$[\mathbf{M}]\{\ddot{\mathbf{u}}\} + [\mathbf{C}]\{\dot{\mathbf{u}}\} + [\mathbf{K}]\{\mathbf{u}\} = \{F(t)\}$$

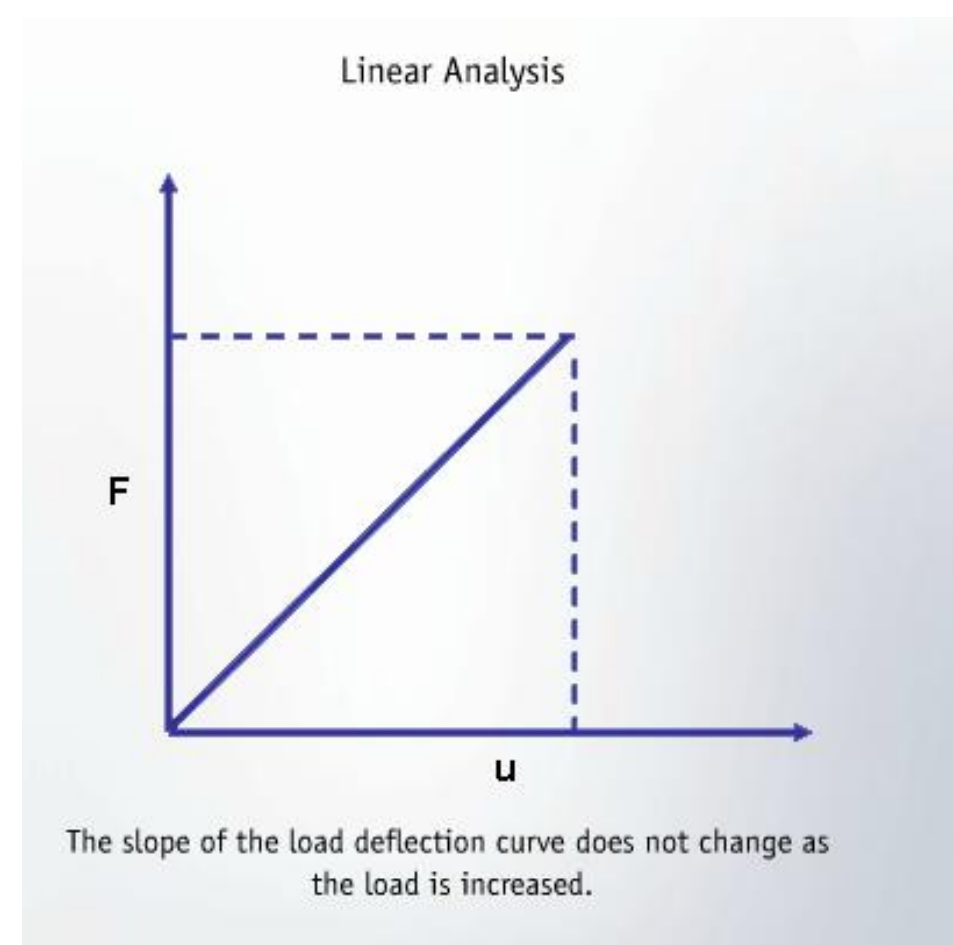
The general equation of motion applies fully.

Základné princípy výpočtových softvérov

Typy analýz (pokračovanie)

Lineárna analýza

- Ak sa vstupné dátia zdvojnásobia, zdvojnásobia sa aj výstupné dátia
- Deformovaný stav môže byť approximovaný nedeformovaným
- Nezáleží na poradí aplikovania zaťažení
- Časovo nenáročná

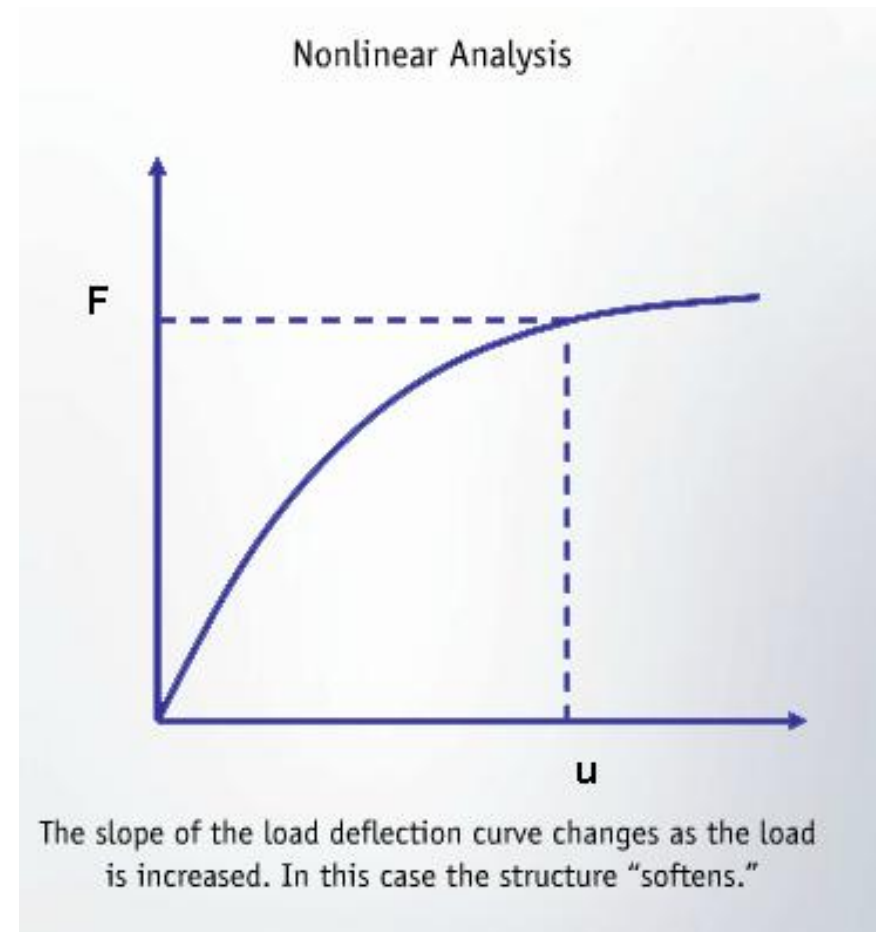


Základné princípy výpočtových softvérov

Typy analýz (pokračovanie)

Nelineárna analýza

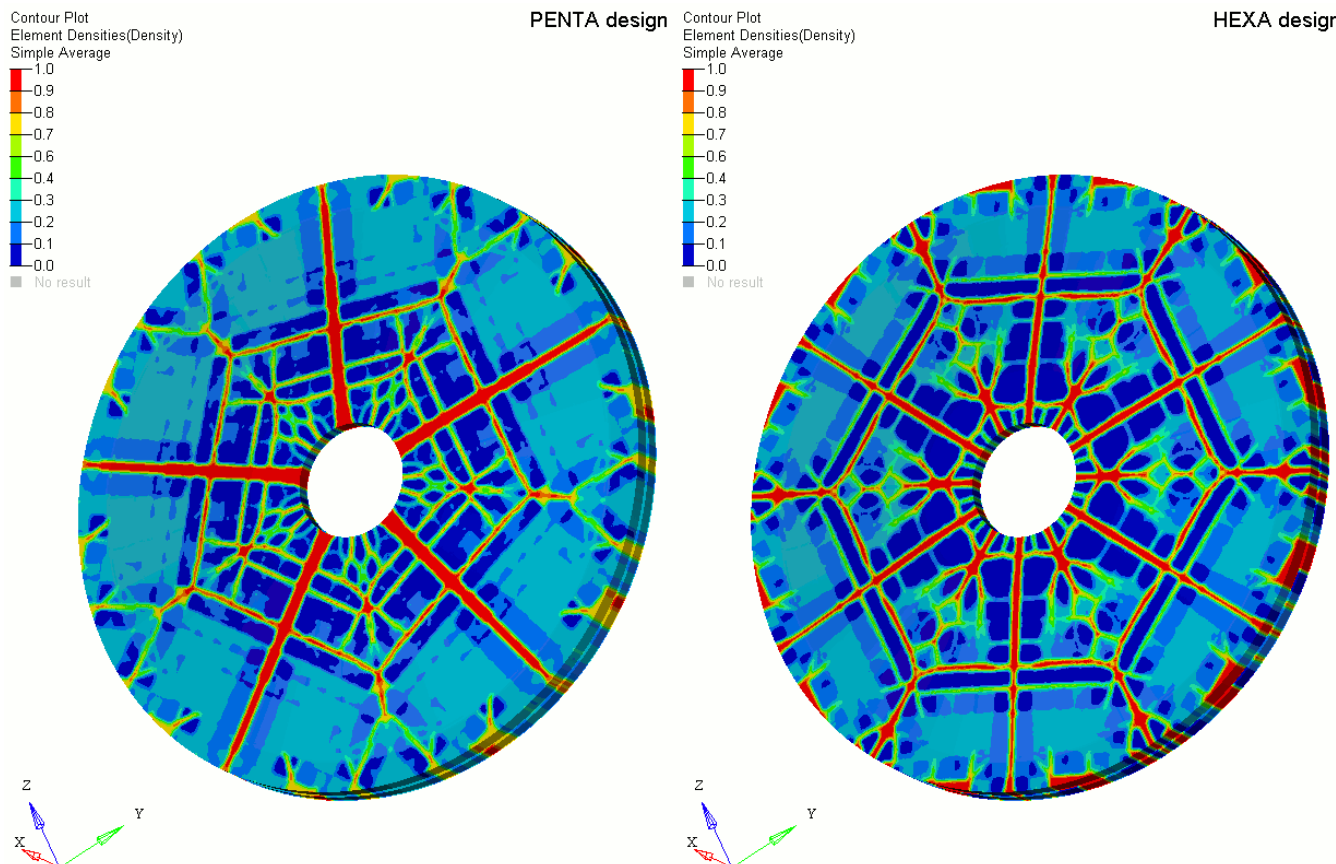
- Ak sa vstupné dátia zdvojnásobia, výstupné dátia nemusia byť dvojnásobné
- Vzťah medzi zaťažením a odozvou nie je dopredu známy
 - Poradie aplikovania zaťažení môže byť doležité
 - Iteračný proces



Základné princípy výpočtových softvérov

Optimalizačné metódy

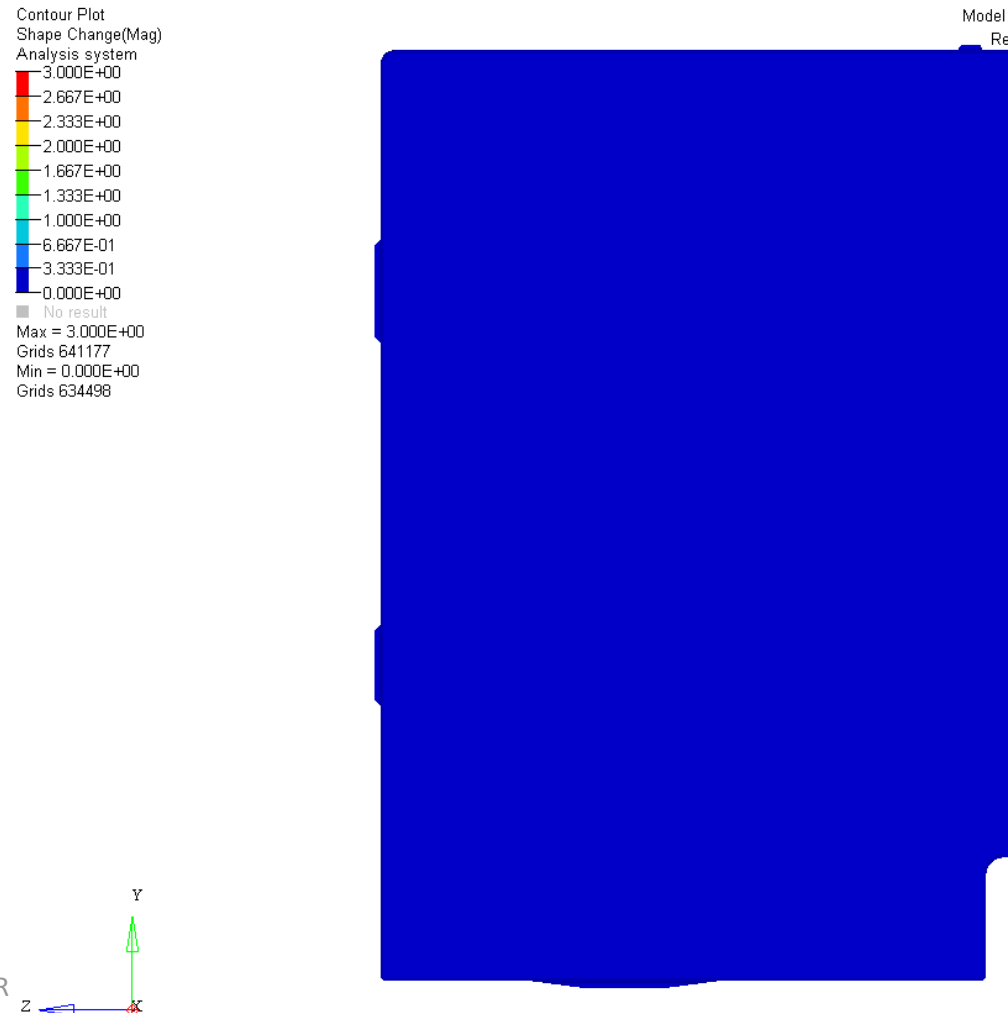
- Topologická optimalizácia – optimalizácia rebovej štruktúry remenice



Základné princípy výpočtových softvérov

Optimalizačné metódy

- Topologická optimalizácia – optimalizácia rebovej štruktúry remenice
- Topografická optimalizácia – optimalizácia tvaru prelisov bočnice

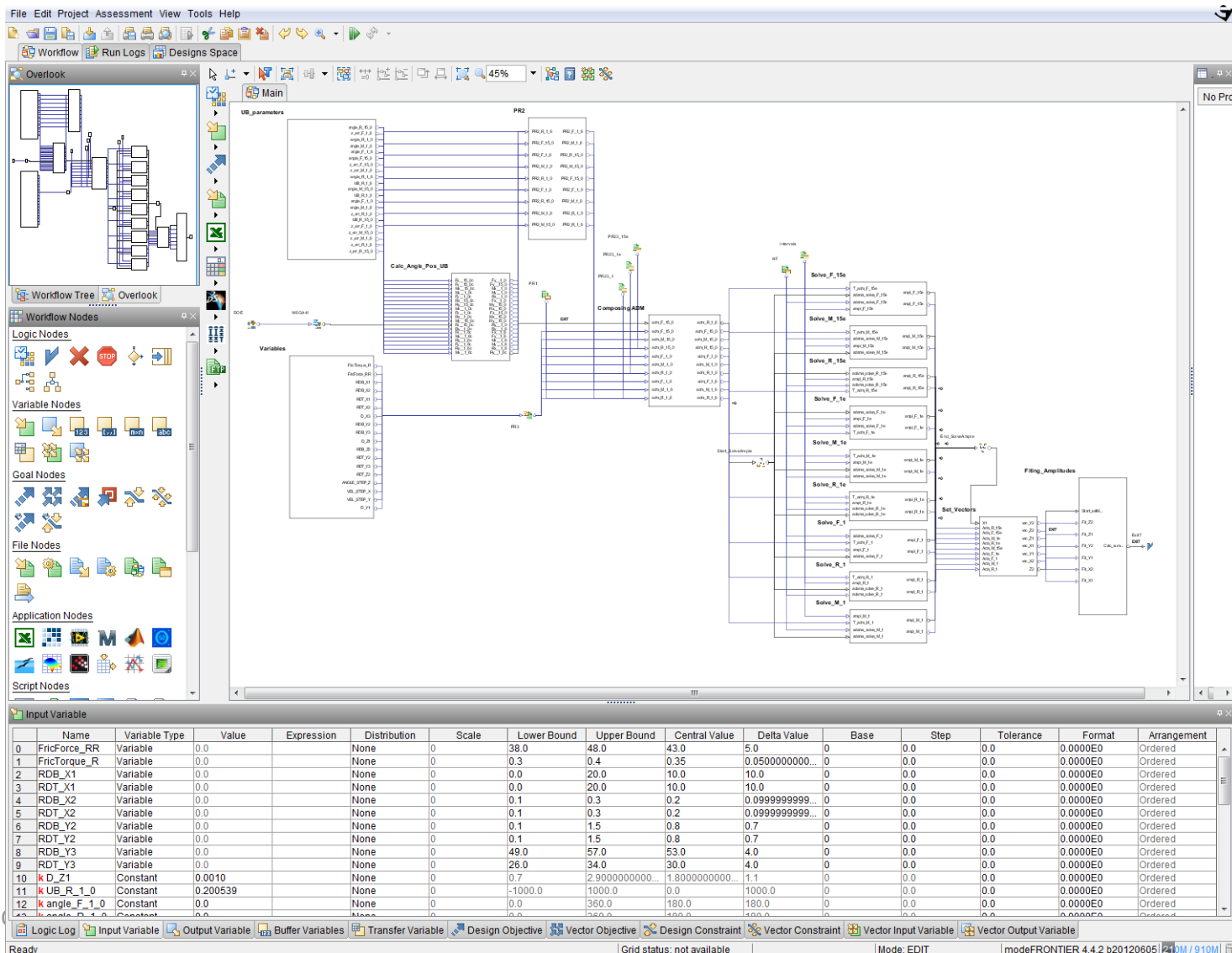


Model info: D:\temp\Svf_130413\examples\panel_des.h3d
Result: D:\temp\Svf_130413\examples\panel_des.h3d
Design : Iteration 0
Frame 1

Základné princípy výpočtových softvérov

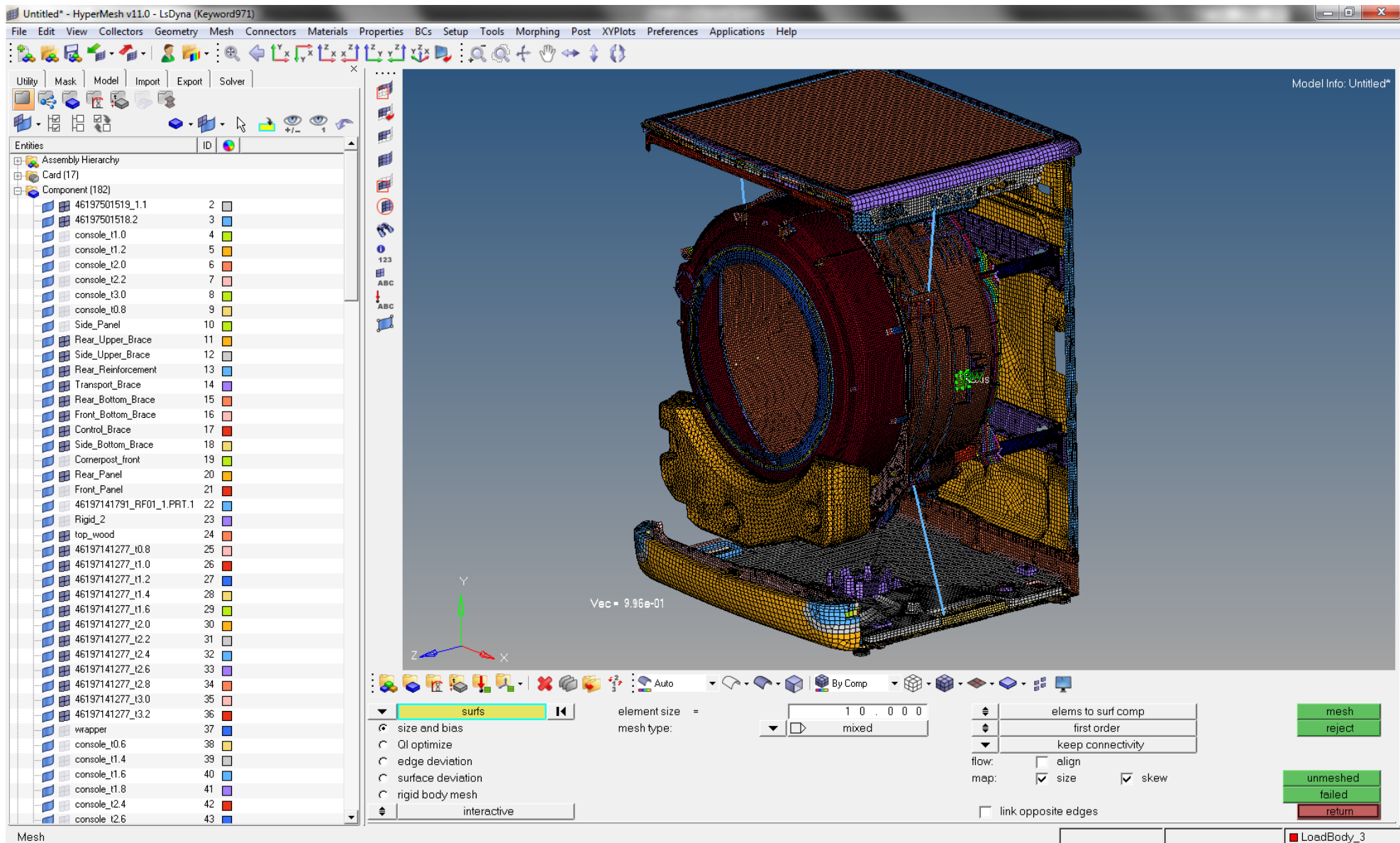
Optimalizačné metódy

- modeFrontier – optimalizácia parametrov matem. modelu tlmičov



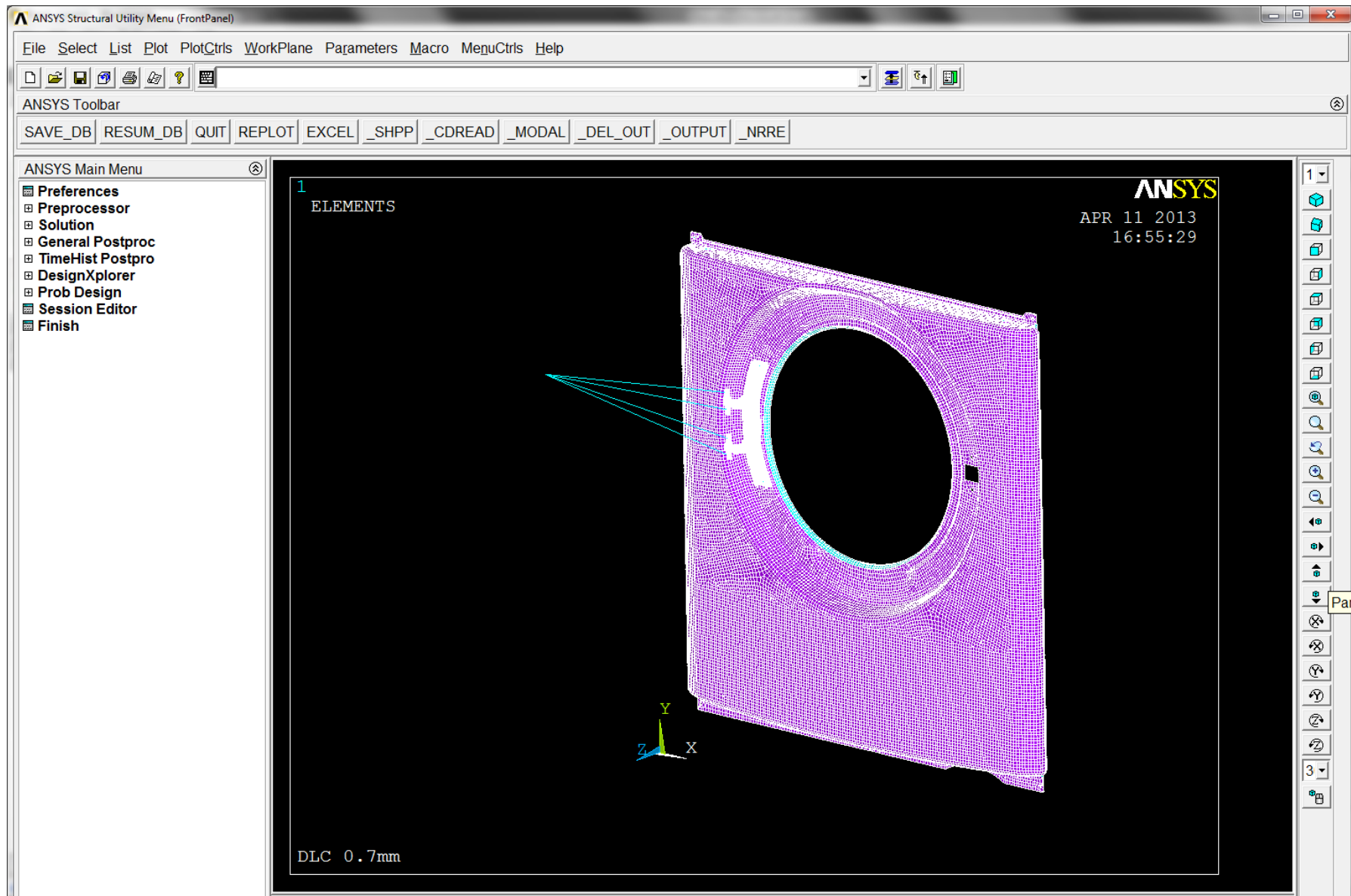
Altair HyperWorks, Ansys, LS-PrePost, LS-Dyna, Msc Adams

- HyperMesh, HyperView, HyperGraph, OptiStruct



Altair HyperWorks, Ansys, LS-PrePost, LS-Dyna, Msc Adams

- Ansys classic



Altair HyperWorks, Ansys, LS-PrePost, LS-Dyna, Msc Adams

- Ansys Workbench

Brace_current - Workbench

File Edit View Tools Units Help

Import... Reconnect Refresh Project Update Project Project Compact Mode

Toolbox

Analysis Systems

- Design Assessment
- Harmonic Responses
- Linear Buckling
- Modal
- Random Vibration
- Response Spectrum
- Rigid Dynamics
- Shape Optimization (Beta)
- Static Structural
- Steady-State Thermal
- Thermal-Electric
- Transient Structural
- Transient Thermal

Component Systems

- Custom Systems
- Design Exploration

Project Schematic

0 P Q R Outline of Schematic P5: Setup

1-h-2 1-h-2 1-h-2_1-5 1-k-2 1-k-2_1-5

1-h-2 1-h-2_1-5 1-k-2 1-k-2_1-5

AA AB X Properties of Schematic P5: Setup

A	B	C	D
Type	Text	Association	Date/Time
Informational	ANSYS news messages could not be loaded because no external internet connection was found. http://www.ansys.com/rss/ansys-news.rss		11. 4. 2013 11:38:23
Error!	Unable to view geometry. Unable to get model.		22. 3. 2013 17:17:25
Warning!	Unable to obtain linked environment IDs. Unable to get model.		22. 3. 2013 17:17:24
Warning!	Unable to set generate input file. Unable to get environment.		22. 3. 2013 17:17:24
Error!	Unable to view geometry. Unable to get model.		22. 3. 2013 17:17:03

Progress

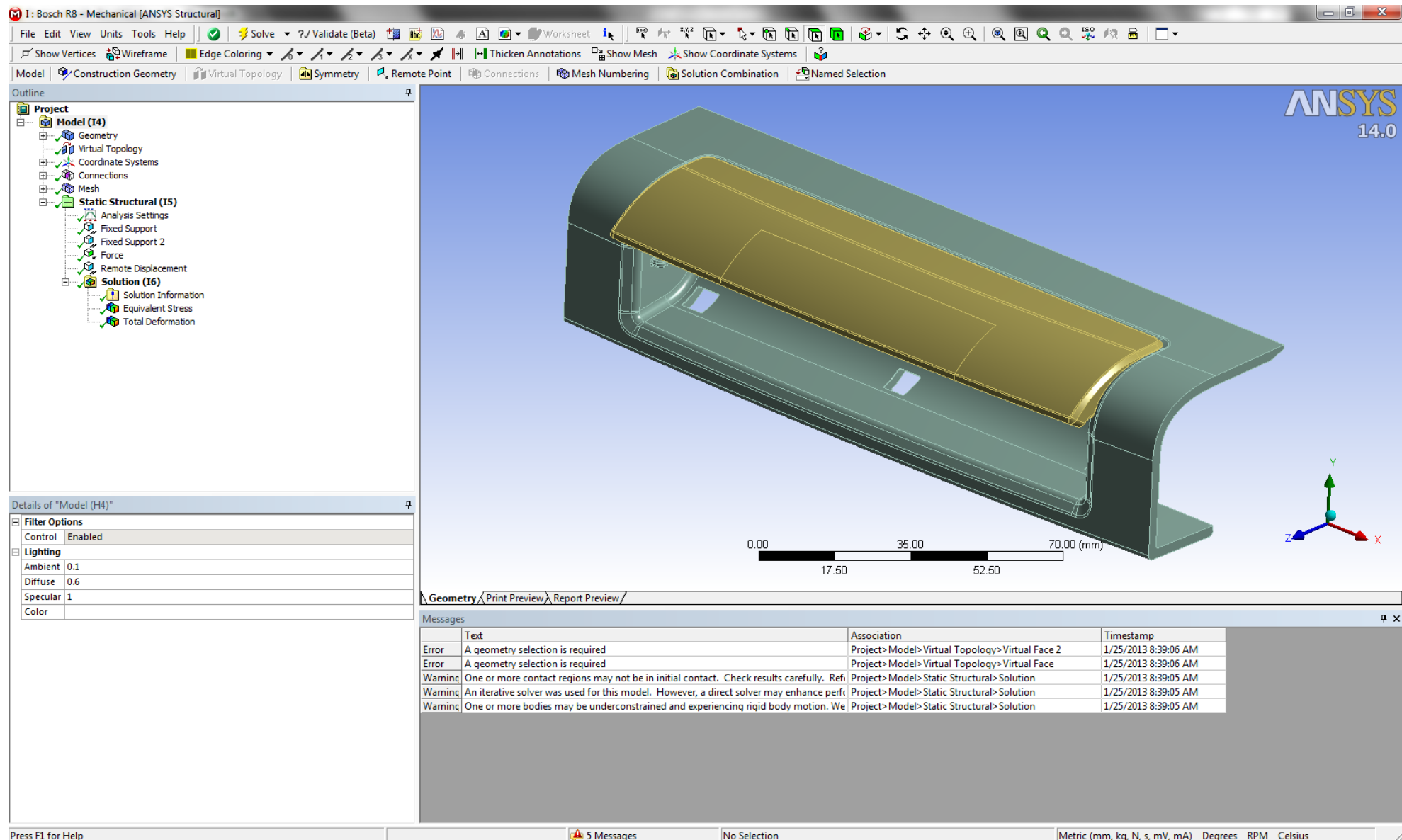
A	B	C
Status	Details	Progress
1		

View All / Customize... Starting Mechanical...

Hide Progress Hide 33 Messages

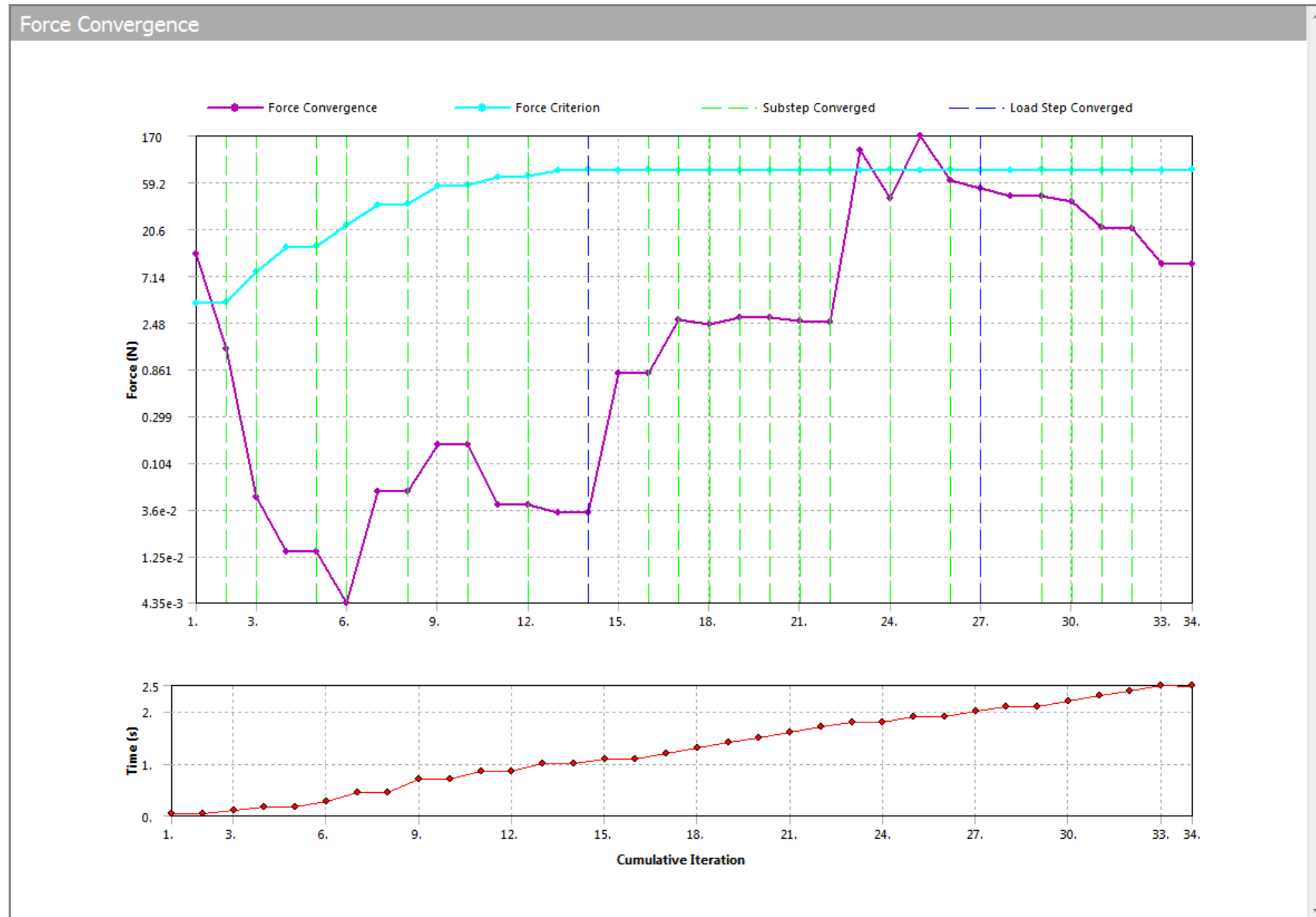
Altair HyperWorks, Ansys, LS-PrePost, LS-Dyna, Msc Adams

- Mechanical

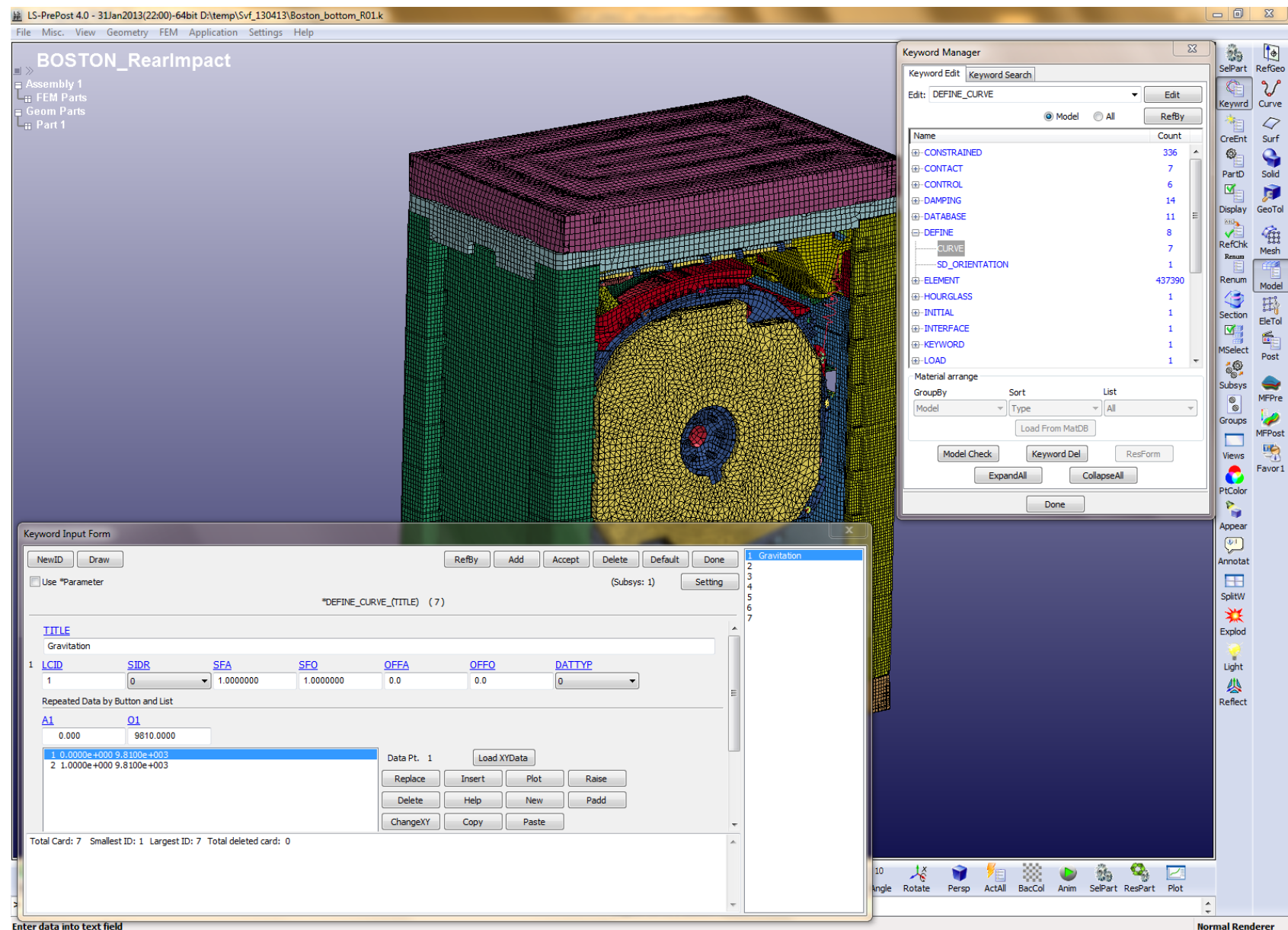


Altair HyperWorks, Ansys, LS-PrePost, LS-Dyna, Msc Adams

- Mechanical



Altair HyperWorks, Ansys, LS-PrePost, LS-Dyna, Msc Adams



Altair HyperWorks, Ansys, LS-PrePost, LS-Dyna, Msc Adams

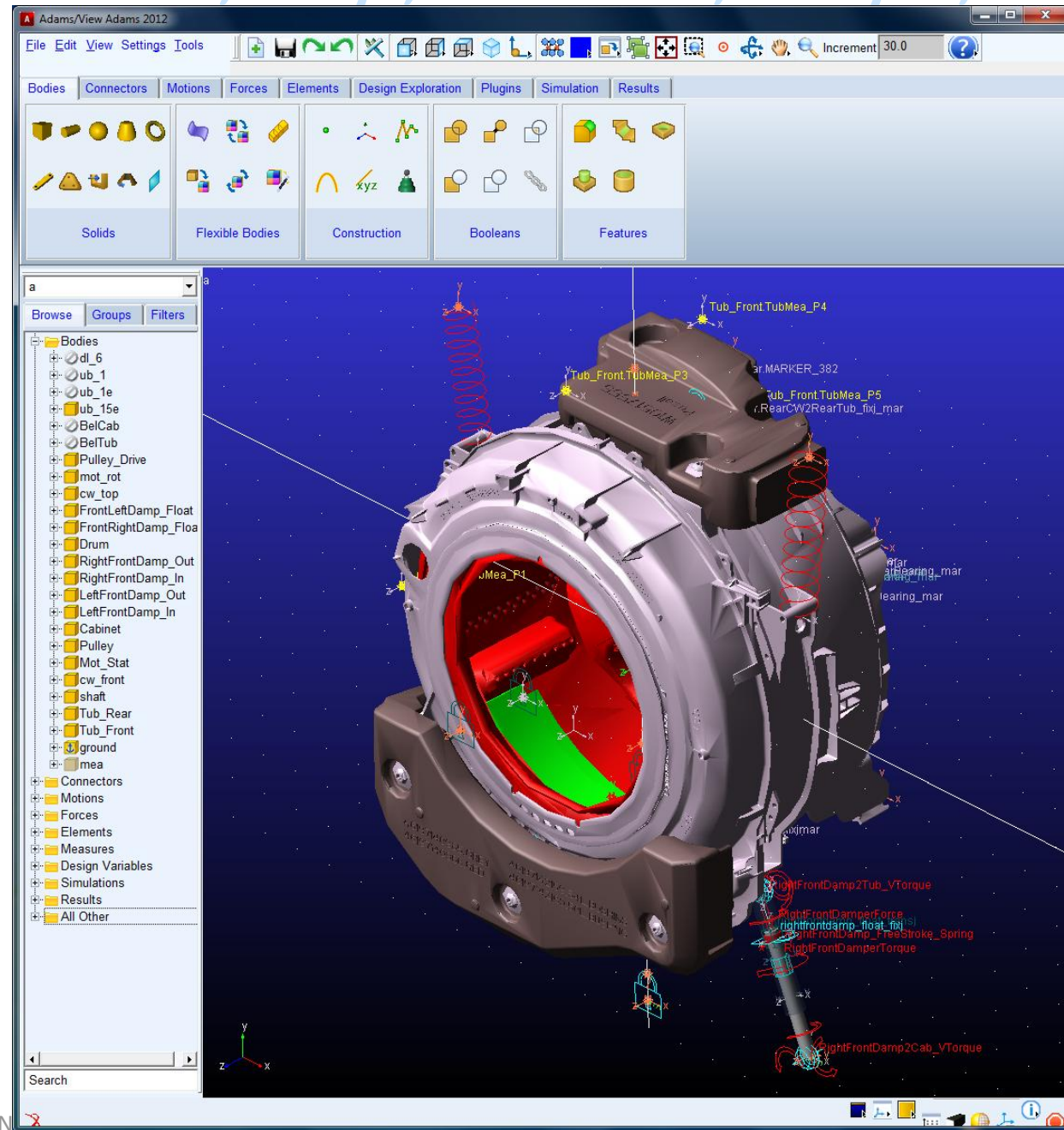
```
C:\Windows\system32\cmd.exe
initialization completed
calculation with mass scaling for minimum dt
added mass      = 5.9464E-06
physical mass= 5.4088E-02
ratio          = 1.0994E-04
dt of cycle     1 is controlled by shell      element 453699
time..... 0.00000E+00
time step.... 2.07000E-07
kinetic energy.. 1.26886E+05
internal energy.. 2.90680E+03
stonewall energy.. 0.00000E+00 wall# 1
spring and damper energy.. 2.90680E+03
hourglass energy .. 0.00000E+00
system damping energy.. 0.00000E+00
sliding interface energy.. 0.00000E+00
external work... 0.00000E+00
eroded kinetic energy.. 0.00000E+00
eroded internal energy.. 0.00000E+00
eroded hourglass energy.. 0.00000E+00
total energy.... 1.29792E+05
total energy / initial energy.. 1.00000E+00
energy ratio w/o eroded energy.. 1.00000E+00
global x velocity..... 0.00000E+00
global y velocity..... -2.11893E+03
global z velocity..... 0.00000E+00

number of shell elements that
reached the minimum time step.. 0
 1 t 0.0000E+00 dt 2.07E-07 flush i/o buffers 04/11/13 16:23:49
 1 t 0.0000E+00 dt 2.07E-07 write d3plot file 04/11/13 16:23:49
cpu time per zone cycle..... 2286 nanoseconds
average cpu time per zone cycle... 623 nanoseconds
average clock time per zone cycle.. 470 nanoseconds

estimated total cpu time      = 65904 sec <    18 hrs 18 mins>
estimated cpu time to complete = 65873 sec <    18 hrs 17 mins>
estimated total clock time    = 49698 sec <    13 hrs 48 mins>
estimated clock time to complete = 49668 sec <    13 hrs 47 mins>

added mass      = 5.9464E-06
percentage increase = 1.0994E-02
 2416 t 4.9990E-04 dt 2.07E-07 write d3plot file 04/11/13 16:29:28
 4831 t 9.9981E-04 dt 2.07E-07 write d3plot file 04/11/13 16:35:21
 5000 t 1.0348E-03 dt 2.07E-07 flush i/o buffers 04/11/13 16:35:46
 7247 t 1.4999E-03 dt 2.07E-07 write d3plot file 04/11/13 16:41:14
 9662 t 1.9998E-03 dt 2.07E-07 write d3plot file 04/11/13 16:47:05
10000 t 2.0698E-03 dt 2.07E-07 flush i/o buffers 04/11/13 16:47:55
```

Altair HyperWorks, Ansys, LS-PrePost, LS-Dyna, Msc Adams



Problém 1 – Simulácia pádovej skúšky AP

Problém 2 – Optimalizácia tvaru prelisov a simulácia tvárnenia

Ďakujem za pozornosť!